

# Выполнение квантового алгоритма поиска порядка подстановки на двух кудитах

В. Е. Зобов, В. П. Шауро\*, А. С. Ермилов

*Институт физики им. Л. В. Киренского Сибирского отд. РАН, 660036 Красноярск, Россия*

*\*Сибирский федеральный университет, 660041 Красноярск, Россия*

Поступила в редакцию 24 января 2008 г.

После переработки 12 февраля 2008 г.

Предложена квантовая схема для выполнения алгоритма поиска порядка подстановки на двух кудитах с числом уровней  $d_1$  и  $d_2$ . Рассчитана последовательность радиочастотных импульсов для реализации алгоритма на двух квадрупольных ядрах  $I_1 = 7/2$  ( $d_1 = 8$ ) и  $I_2 = 3/2$  ( $d_2 = 4$ ) и выполнено численное моделирование работы алгоритма. Найден способ получения квазичистого состояния. Проведено сравнение со случаем реализации алгоритма методами ЯМР на пяти кубитах.

PACS: 03.67.Lx

**Введение.** Квантовые вычисления на  $d$ -уровневых базовых элементах (кудитах) при  $d > 2$  могут оказаться предпочтительными. Например, для получения вычислительного базиса заданного размера кудитов требуется меньше [1–4], чем кубитов, поэтому ими легче управлять. Ожидается и другие преимущества. Однако квантовые вычисления на кудитах еще недостаточно изучены. Хотя доказано [1, 5], что с помощью универсального набора одно и двухкудитных элементарных логических операторов (вентиляй) [3, 6, 7] можно выполнить любой алгоритм. Но получено очень мало конкретных квантовых схем, доведенных до элементарных операций, допускающих реализации экспериментальными средствами. Так, например, на четырех уровнях квадрупольного ядра Na в работе [8] экспериментально реализован алгоритм поиска, в работе [9] – алгоритм Дойча, а в работе [10] на 8 уровнях ядра Cs организован сумматор. В перечисленных работах не используется понятие кудита, а оперируют с виртуальными кубитами [2].

В предлагаемой работе на двух кудитах изучается алгоритм поиска порядка подстановки, который ранее был реализован экспериментально методами ЯМР на пяти кубитах [11]. Такой алгоритм является основой известного квантового алгоритма факторизации Шора, продемонстрированного теми же авторами в их следующей работе [12] на 7 кубитах.

**Квантовый алгоритм поиска порядка подстановки.** Пусть на множестве  $Y$ , состоящем из  $d$  элементов, действует подстановка  $s$ . Каждая подстановка является произведением ее независимых циклов [13]:

$$s = s_1 s_2 \dots s_k, \quad \text{где } s_i = (y, s_i(y), \dots, s_i^{l_i-1}(y)), \quad (1)$$

$l_i$  – длина цикла  $i$ :  $s_i^{l_i}(y) = y$ ,  $y$  – элемент множества  $Y$ , принадлежащий подмножеству, на котором действует подстановка  $s_i$ . Порядок  $r$  подстановки  $s$  ( $s^r = e$  – единичная подстановка) равен наименьшему общему кратному длин циклов  $l_1, l_2, \dots, l_k$ , входящих в разложение  $s$  (1).

Для выполнения рассматриваемого квантового алгоритма [11] следует записать результаты многократного применения подстановки на состояниях двух регистров – двух кудитов в нашем случае. Для каждого цикла  $s_i$  это можно сделать, как мы покажем далее, с помощью вентиля  $SUM$  [6, 7]:

$$SUM_{1i} |x\rangle_1 \otimes |y\rangle_i = |x\rangle_1 \otimes |x + y(\text{mod } l_i)\rangle_i, \quad (2)$$

где  $|x\rangle_1$  – состояние контролирующего кудита, а  $|y\rangle_i$  – рабочего виртуального кудита, сформированного из  $l_i$  последовательных уровней исходного кудита (использование соседних уровней позволит избежать запрещенных переходов, хотя это не принципиально для выполнения алгоритма).

Вентиль  $SUM$  для двух кудитов с числом уровней  $d_1$  и  $d_2$  может быть реализован по схеме [7]

$$SUM_{12} = (E_1 \otimes QFT_{d2})^{-1} \cdot P_{12} \cdot (E_1 \otimes QFT_{d2}), \quad (3)$$

где  $P_{12}$  – оператор контролируемого сдвига фазы с диагональной матрицей размерности  $(d_1 d_2 \times d_1 d_2)$  в пространстве состояний двух кудитов, матричные элементы которого определяются следующим образом:

$$\langle xy | P_{12} | xy \rangle = \exp \left( ixy \frac{2\pi}{d_2} \right),$$

$$x = 0 \dots (d_1 - 1), \quad y = 0 \dots (d_2 - 1), \quad (4)$$

$E$  – единичная матрица, а  $QFT_d$  – оператор квантового преобразования Фурье (КПФ) (см., например, [14, 15]).

Для более детального исследования возьмем кубиты с числом уровней 8 и 4, что будет соответствовать размерам регистров в уже изученной системе 5 кубитов [11] и удобно, поэтому, для сравнения. Квантовый алгоритм отыскания порядка подстановки на двух таких кубитах может быть реализован с помощью схемы, показанной на рис.1, которая работает следующим образом:

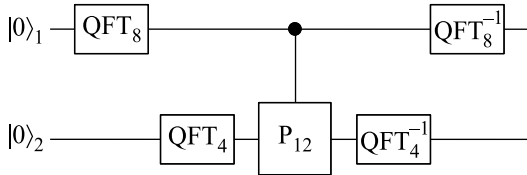


Рис.1. Квантовая схема для алгоритма поиска порядка подстановки на двух кубитах при  $d_1 = 8$  и  $d_2 = 4$

0) Первый кубит (представление числа  $x$ ) и второй кубит (представление числа  $y$ ) устанавливаем в начальном состоянии  $|0\rangle_1 \otimes |0\rangle_2$ .

1) На кубит 1 действуем КПФ, которое переводит первый регистр в суперпозиционное состояние

$$QFT_8|0\rangle = (|0\rangle + |1\rangle + |2\rangle + |3\rangle + |4\rangle + |5\rangle + |6\rangle + |7\rangle)/\sqrt{8}.$$

2) Оракул действует вентилем  $SUM$  (с  $r = 4$  или  $r = 2$ , по своему усмотрению), который переводит сепарабельное состояние двух регистров в перепутанное (или запутанное):

$$SUM_{12} \sum_{x=0}^7 |x\rangle_1 \otimes |0\rangle_2 = \sum_{x=0}^7 |x\rangle_1 \otimes |s^x(0)\rangle_2.$$

3) Производим КПФ состояний первого кубита, которое позволяет определить период функции  $f(x) = s^x(y)$ , записанной в этих состояниях.

4) Измеряем состояния первого кубита и по расстоянию  $\Delta x$  между максимумами (см. ниже рис.3) делаем вывод о порядке подстановки  $r = 8/\Delta x$ .

**Моделирование алгоритма.** Для управления кубитами применяют операторы поворота, селективные по спинам [11, 12, 20], тогда как при управлении многоуровневыми системами – селективные по уровням операторы [2–10, 14–16], для которых будем использовать обозначения  $\{\theta\}_\alpha^{m-n}$ , где  $\theta$  – угол, а  $\alpha$  – ось поворота,  $m, n$  – номера уровней, между которыми осуществляется переход. Последовательности операторов селективных поворотов для КПФ при

$d = 4$  и  $d = 8$  получены нами в работе [14]. Однако методом линейной алгебры, описанным в [15, 16], нам удалось получить более короткие последовательности, приведенные в табл.1 и табл.2. Их мы будем использовать в настоящей работе.

Таблица 1

Значения параметров в последовательности операторов поворотов  $\prod_j \{\theta_j\}_\alpha^{m-n}$  для реализации КПФ на 4-уровневой квантовой системе

$j$	$\alpha$	$\theta_j$ , рад	$m - n$
1	Y	$-\pi/2$	3 – 4
2	Y	$-2 \cdot \text{arctg}(\sqrt{2})$	2 – 3
3	Y	$2\pi/3$	3 – 4
4	Y	$-2\pi/3$	1 – 2
5	Z	$3\pi/4$	1 – 2
6	Z	$-\pi/2$	2 – 3
7	Z	$\pi/4$	3 – 4
8	Y	$-2\pi/3$	3 – 4
9	Y	$2 \cdot \text{arctg}(\sqrt{2})$	2 – 3
10	Y	$\pi/2$	3 – 4

В качестве физической системы возьмем два квадрупольных ядра со спинами  $I_1 = 7/2$  и  $I_2 = 3/2$ , находящиеся в аксиально-симметричном кристаллическом поле и сильном постоянном магнитном поле, с гамильтонианом [17]

$$H_0 = -\omega_1 I_{1Z} - \omega_2 I_{2Z} + q_1(I_{1Z}^2 - 21/4) + q_2(I_{2Z}^2 - 5/4) - JI_{1Z}I_{2Z}, \quad (5)$$

где  $\omega_i = B_0 \gamma_i$  – ларморовская частота прецессии спина  $i$ ,  $J$  – константа спин-спинового взаимодействия,  $q_1$  и  $q_2$  – константы взаимодействия квадрупольных моментов ядер с градиентом кристаллического поля,  $I_{1Z}$  – оператор проекции спина на направление внешнего постоянного поля (ось  $Z$ ) для соответствующего ядра. Энергию будем измерять в частотных единицах и полагать  $\hbar = 1$ .

Для управления системой будем прикладывать переменное радиочастотное (РЧ) магнитное поле. РЧ импульс получаем при включении поля с амплитудой  $B_1$  и частотой  $\omega$  в течение конечного времени  $t_p \gg 1/\omega$ . Во вращающейся с частотой  $\omega$  системе координат (ВСК) [17] изменение состояния во времени задается оператором эволюции

$$U(t) = e^{-iHt} \quad (6)$$

с не зависящим от времени эффективным гамильтонианом  $H$ :

$$H = H_0 + \omega(I_{1Z} + I_{2Z}) - \Omega_1(I_{1X} \cos \varphi + I_{1Y} \sin \varphi) - \Omega_2(I_{2X} \cos \varphi + I_{2Y} \sin \varphi). \quad (7)$$

Таблица 2

То же, что в табл.1, но для 8-уровневой квантовой системы

$j$	$\alpha$	$\theta_j$ , рад	$m - n$
1	Y	$-\pi/2$	7 – 8
2	Y	$-2 \cdot \arctg(\sqrt{2})$	6 – 7
3	Y	$-2\pi/3$	5 – 6
4	Y	$-2 \cdot \arctg(2)$	4 – 5
5	Y	$-2 \cdot \arctg(\sqrt{5})$	3 – 4
6	Y	$-2 \cdot \arctg(\sqrt{6})$	2 – 3
7	Z	$-7\pi/4$	2 – 3
8	Z	$-1,0409$	7 – 8
9	X	$-1,1086$	7 – 8
10	Z	$-1,5508$	6 – 7
11	X	$-1,4928$	6 – 7
12	Z	$-1,7886$	5 – 6
13	X	$-1,7680$	5 – 6
14	Z	$-1,8803$	4 – 5
15	X	$-1,9954$	4 – 5
16	Z	0,0451	4 – 5
17	Z	$-0,2086$	7 – 8
18	X	$-0,9564$	7 – 8
19	Z	$-0,4371$	6 – 7
20	X	$-1,3518$	6 – 7
21	Z	0,6691	6 – 7
22	Z	6,9736	7 – 8
23	X	$-0,9160$	7 – 8
24	Z	0,3558	7 – 8
25	Z	6,0410	5 – 6
26	X	$-1,6806$	5 – 6
27	Z	$-0,5993$	5 – 6
28	X	$-1,3518$	6 – 7
29	Z	$-0,4371$	6 – 7
30	X	$-0,9564$	7 – 8
31	Z	$-0,2086$	7 – 8
32	Z	$-4,6096$	3 – 4
33	X	$-2,1944$	3 – 4
34	Z	$-1,8833$	3 – 4
35	X	$-1,9954$	4 – 5
36	Z	$-1,8803$	4 – 5
37	X	$-1,7680$	5 – 6
38	Z	$-1,7886$	5 – 6
39	X	$-1,4928$	6 – 7
40	Z	$-1,5508$	6 – 7
41	X	$-1,1086$	7 – 8
42	Z	$-1,0409$	7 – 8
43	Z	$\pi/8$	1 – 2
44	Y	$2 \cdot \arctg(\sqrt{7})$	1 – 2
45	Y	$2 \cdot \arctg(\sqrt{6})$	2 – 3
46	Y	$2 \cdot \arctg(\sqrt{5})$	3 – 4
47	Y	$2 \cdot \arctg(2)$	4 – 5
48	Y	$2\pi/3$	5 – 6
49	Y	$2 \cdot \arctg(\sqrt{2})$	6 – 7
50	Y	$\pi/2$	7 – 8

Здесь  $\Omega_i = B_1 \gamma_i$ . Фаза РЧ поля  $\varphi$  определяет направление поля в ВСК. При этом, если выбрать частоту переменного поля равной частоте переходов между уровнями энергии  $\omega = \varepsilon_n - \varepsilon_m$ , то в первую очередь

будут изменяться состояния, соответствующие данным уровням, и мы получим селективный поворот  $\{\theta\}_\alpha^{m-n}$  на угол  $\theta = t_p \Omega_{mn}$ , где  $I_{mn}$  – модуль матричного элемента оператора  $I_X$ . Селективный поворот вокруг оси  $Z$  в наших расчетах будем осуществлять, следя за работе [11], с помощью сдвига фазы последующего РЧ импульса.

Подстановка с порядком  $r = 4$  имеет один цикл  $s = (0, 1, 2, 3)$  и задается одним вентилем  $SUM$  (3), в котором диагональный оператор  $P_{12}$  (4) можно выразить через операторы  $I_{1Z}$  и  $I_{2Z}$  на основании соотношения

$$\begin{aligned} \frac{\pi}{2} xy &= \frac{\pi}{2} \left( \frac{7}{2} - I_{1Z} \right) \left( \frac{3}{2} - I_{2Z} \right) = \\ &= \frac{\pi}{2} \left( I_{1Z} I_{2Z} - \frac{3}{2} I_{1Z} - \frac{7}{2} I_{2Z} + \frac{21}{4} \right). \end{aligned} \quad (8)$$

После подстановки (8)  $P_{12}$  преобразуется в произведение трех операторов и общего фазового множителя:

$$\begin{aligned} P_{12} &= \exp \left( i \frac{\pi}{2} I_{1Z} I_{2Z} \right) \cdot \exp \left( -i \frac{7\pi}{4} I_{2Z} \right) \times \\ &\quad \times \exp \left( -i \frac{3\pi}{4} I_{1Z} \right) \cdot \exp \left( -i \frac{21\pi}{8} \right). \end{aligned} \quad (9)$$

Первый из них получаем путем свободной эволюции системы с гамильтонианом спин-спинового взаимодействия  $H_J = -J I_{1Z} I_{2Z}$  в течение времени

$$t_J = \pi/2J. \quad (10)$$

Для устранения сдвига фазы вследствие квадрупольного и зеемановского взаимодействий время задаем кратным периоду  $2\pi/q_1$  [9]. Второй и третий операторы в (9) сводятся к действию дополнительных  $Z$ -импульсов на соответствующие спины:

а) импульсы, действующие на спин 1,

$$\begin{aligned} \left\{ \frac{5}{4}\pi \right\}_Z^{7-8} \cdot \{\pi\}_Z^{6-7} \cdot \left\{ \frac{3}{4}\pi \right\}_{-Z}^{5-6} \cdot \\ \cdot \left\{ \frac{3}{4}\pi \right\}_{-Z}^{3-4} \cdot \{\pi\}_Z^{2-3} \cdot \left\{ \frac{5}{4}\pi \right\}_Z^{1-2}; \end{aligned} \quad (11)$$

б) импульсы, действующие на спин 2,

$$\left\{ \frac{5}{4}\pi \right\}_Z^{3-2} \cdot \{\pi\}_{-Z}^{2-3} \cdot \left\{ \frac{5}{4}\pi \right\}_Z^{1-2}. \quad (12)$$

В качестве подстановки с порядком  $r = 2$  с двумя циклами возьмем подстановку  $s = (0, 2)(1, 3)$ , поскольку ее можно задать снова одним вентилем  $SUM$  (3), в операторе  $P_{12}$ , у которого показатель следует умножить на 2. Это означает, что длительность

интервала эволюции (10) и углы  $Z$ -поворотов в (11), (12) удваиваются.

Результаты расчетов показаны на рис.2 и рис.3. Для сравнения на рис.4 показаны результаты рас-

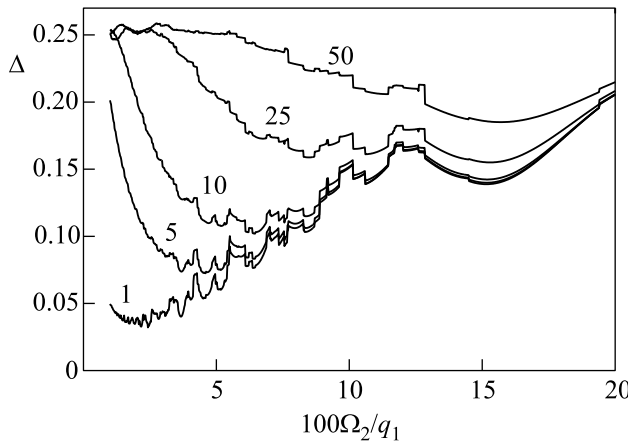


Рис.2. Зависимость от амплитуды РЧ поля ошибки реализации алгоритма поиска порядка подстановки (рис.1)

$\Delta = \frac{1}{32} \sqrt{\sum_{i,j} |U_{ij} - U_{ij}^{\text{теор}}|^2}$ , где  $U_{ij}^{\text{теор}}$  – элементы матрицы  $32 \times 32$  идеального оператора алгоритма в целом, а  $U_{ij}$  – элементы численно рассчитанной матрицы оператора алгоритма, полученного с помощью произведения операторов эволюции (6). Цифрами на кривых показана величина спин-спинового взаимодействия в единицах  $10^5 \cdot J/q_1$ . Значения других параметров:  $\omega_1 = 3000$ ;  $\omega_2 = 6000$ ;  $q_1 = 100$ ;  $q_2 = 200$ . Кривые для  $r = 2$  и  $r = 4$  совпадают

чета для случая реализации алгоритма на 5 кубитах, выполненные нами по схеме работы [11] с РЧ импульсами (6). С целью приблизить условия двух способов реализации мы выбрали значения констант, отличные от экспериментальных. Различия в расположении максимумов на рис.3 и 4 обусловлены различием операторов КПФ. На кубитах реализовано быстрое преобразование Фурье, приводящее к побитно обратному результату, тогда как на кубитах – полное КПФ.

Ошибка обусловлена двумя основными причинами:

1) РЧ импульс, помимо селективного поворота на выбранном переходе действует на остальные нерезонансные переходы. Эта ошибка растет при увеличении амплитуды РЧ импульса.

2) Спин-спиновое взаимодействие изменяет состояние системы во время действия РЧ импульсов. Эта ошибка растет при уменьшении амплитуды РЧ импульса.

В результате совместного действия наблюдается минимум на кривых рис.2, значение ошибки в кото-

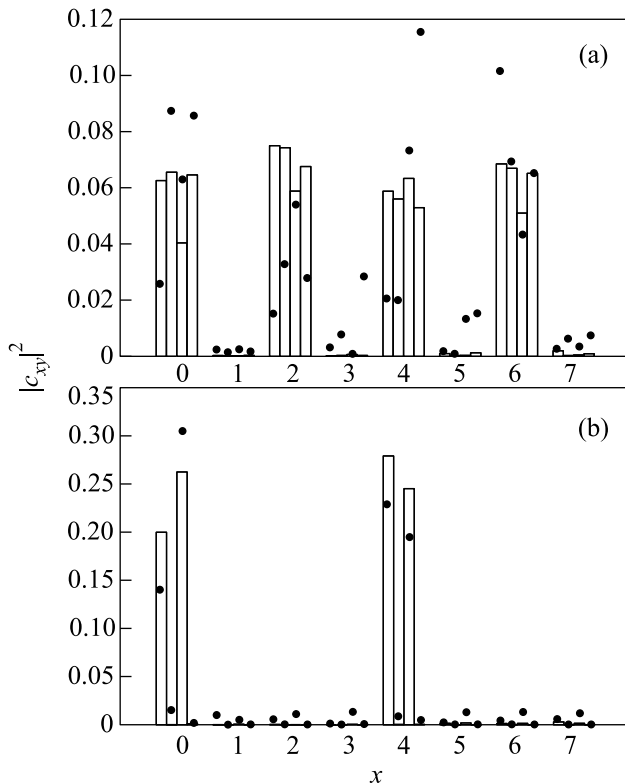


Рис.3. Вероятности  $|c_{xy}|^2$  состояний  $|x\rangle_1 \otimes |y\rangle_2$  в конце алгоритма поиска порядка подстановки на двух кубитах (рис.1) при  $r = 4$  (а) и  $r = 2$  (б). Столбиками показаны значения при  $J/q_1 = 10^{-5}$  и  $100\Omega_2/q_1 = 2.18$ , кружками – при  $J/q_1 = 10^{-4}$  и  $100\Omega_2/q_1 = 6.35$ . Значения других параметров:  $\omega_1 = 3000$ ;  $\omega_2 = 6000$ ;  $q_1 = 100$ ;  $q_2 = 200$ . Цифрами внизу обозначены номера состояний первого кубита ( $x = 0, 1, \dots, 7$ ), состояния второго кубита ( $y = 0, 1, 2, 3$ ) не обозначены и располагаются по порядку слева направо

ром растет с ростом  $J$ . При этом наибольший вклад в ошибку происходит от изменения фазы состояний.

**Квазичистое состояние.** При выполнении квантовых вычислений методами ЯМР необходимо приготовить квазичистое состояние из теплового равновесного состояния. Как это сделать для одного квадрупольного ядра, можно найти, например, в работах [8, 18]. В частности, в работе [18] для 8 уровней ядра  $^{133}\text{Cs}$  с  $I = 7/2$  применен многочастотный (модулированный) селективный РЧ импульс, оставляющий неизменной населенность основного уровня и выравнивающий населенности всех остальных уровней.

Для двух квадрупольных ядер готовая процедура создания квазичистого состояния нам не известна. Мы предлагаем применить метод фильтрации с помощью временного фазового циклирования [19]. С

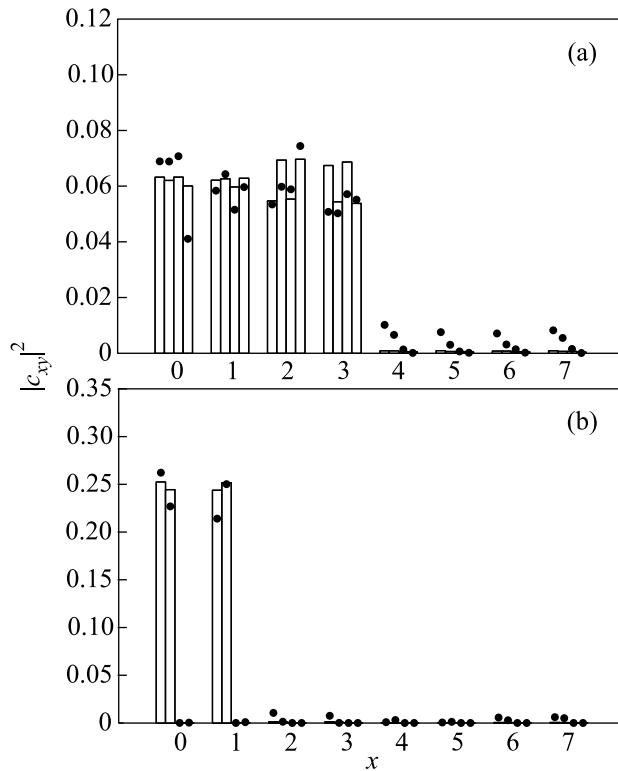


Рис.4. Вероятности  $|c_{xy}|^2$  состояний  $|x_1\rangle \otimes |y_2\rangle$  в конце алгоритма поиска порядка подстановки на пяти кубитах [11] при  $r = 4$  (а) и  $r = 2$ ,  $s = (0, 1)(2, 3)$  (б). Столбиками показаны значения при  $J/\Delta\omega = 10^{-5}$ , кружками – при  $J/\Delta\omega = 10^{-4}$ , где  $\Delta\omega = 10000$ . Значения других параметров:  $\omega_j = j\Delta\omega$  ( $j = 1, 2, 3, 4, 5$ ),  $\Omega_1/\Delta\omega = \Omega_2/\Delta\omega = \Omega_3/\Delta\omega = \Omega_4/\Delta\omega = \Omega_5/\Delta\omega = 0.0125$ . Цифрами внизу обозначены номера состояний первого регистра ( $x = 0, 1, \dots, 7$ ), состояния второго регистра ( $y = 0, 1, 2, 3$ ) не обозначены

этой целью перед вышеупомянутым многочастотным селективным импульсом подействуем на спин 1 двумя мощными неселективными РЧ импульсами, разделенными интервалом свободной эволюции:

$$\left\{ \frac{1}{2}\pi \right\}_Y \rightarrow t_k \rightarrow \left\{ \frac{1}{2}\pi \right\}_{\varphi_k - Y}. \quad (13)$$

Поперечная компонента спина 1 за время  $t_k$  приобретет фазу, зависящую от ориентации второго спина:

$$J I_{2Z} t_k + \varphi_k = J t_k (I_{2Z} - I_2),$$

где фазовый сдвиг второго импульса выбран таким, чтобы скомпенсировать временную зависимость основного состояния  $I_{2Z} = I_2$ . Выполним эксперимент последовательно  $2I_2 + 1$  раз с разными интервалами между импульсами:

$$t_k = 2\pi k / J(2I_2 + 1) \quad (k = 0, 1, \dots, 2I_2) \quad (14)$$

(время задаем кратным периоду  $2\pi/q_1$ ) и сложим результаты экспериментов. После чего останется только интересующий нас результат, соответствующий основному состоянию, тогда как вклады остальных состояний исчезнут.

В частности, для  $I_2 = 3/2$  эксперимент необходимо выполнить четыре раза. Отметим, что для приготовления квазичистого состояния методом временно-го усреднения в упомянутой работе [11] на 5 кубитах складывали результаты 9 экспериментов.

При демонстрации работы квантовых алгоритмов методами ЯМР сигнал наблюдается от большого ансамбля квантовых систем, поэтому квантовые вероятности выхода наблюдаются через интенсивности линий в спектре ЯМР при спектральной регистрации или через величины элементов матрицы плотности при томографической регистрации:

$$\rho_f = \left\{ \frac{(1-\beta)}{d_1 d_2} E_1 \otimes E_2 + \beta |\Psi_f\rangle \langle \Psi_f| \right\}, \quad (15)$$

где  $\beta$  – амплитуда квазичистого состояния, пропорциональная обратной температуре, а

$$|\Psi_f\rangle = \sum_{y=0}^3 \sum_{x=0}^7 c_{xy} |x\rangle_1 \otimes |y\rangle_2 = U |0\rangle_1 \otimes |0\rangle_2. \quad (16)$$

**Заключение.** Итак, получены формулы, позволяющие реализовать квантовый алгоритм поиска порядка подстановки на двух квадрупольных ядрах  $I_1 = 7/2$  и  $I_2 = 3/2$ , вместо пяти спинов  $I = 1/2$  [11]. Для реализации требуется 70 РЧ импульсов в первом и 80 для  $r = 2$  (100 для  $r = 4$ ) во втором случаях. Проведенное моделирование показало близкую точность двух способов при сопоставимых значениях параметров. Для уменьшения ошибки от рассмотренного случая простых импульсных последовательностей следует перейти к более сложным. Необходимые специальные приемы уже разработаны для кубитов [11, 12, 20], тогда как для квадрупольных ядер это еще предстоит сделать.

В качестве примера мы выбрали два квадрупольных ядра, управляемые РЧ полем, поскольку ЯМР лидирует в моделировании квантовых алгоритмов [20]. Однако, после соответствующих изменений, формулы могут быть распространены на другие многоуровневые системы: молекулярные магнетики, примеси в кристаллах, атомы и ионы в ловушках и т.п. Многоуровневые базовые элементы (кукварты [21]) были получены и в оптике, но экспериментальная демонстрация алгоритма Шора, например, выполнена на кубитах [22, 23]. Главное отличие таких линейных оптических схем от нашей в том, что в

них перепутанность состояний фотонов получается без непосредственного взаимодействия между ними.

Один из авторов (А.С.Е.) благодарит Красноярский краевой фонд науки за финансовую поддержку (грант # 17G092).

1. D. Gottesman, Lect. Not. Comp. Sci. **1509**, 302 (1999).
2. A. P. Кессель, В. Л. Ермаков, Письма в ЖЭТФ **70**, 59 (1999); **71**, 443 (2000).
3. A. Muthukrishnan and C. R. Stroud (Jr.), Phys. Rev. A **62**, 052309 (2000).
4. J. L. Cereceda, quant-ph/0407253.
5. A. Yu. Vlasov, J. Math. Phys. **43**, 2959 (2002).
6. S. D. Bartlett, H. de Guise, and B. C. Sanders, Phys. Rev. A **65**, 052316 (2002).
7. J. Daboul, X. Wang, and B. C. Sanders, J. Phys. A **36**, 7063 (2003).
8. V. L. Ermakov and B. M. Fung, Phys. Rev. A **66**, 042310 (2002).
9. R. Das and A. Kumar, Phys. Rev. A **68**, 032304 (2003).
10. K. V. R. M. Murali, N. Sinha, T. S. Mahesh et al., Phys. Rev. A **66**, 022313 (2002).
11. L. M. K. Vandersypen, M. Steffen, G. Breyta et al., Phys. Rev. Lett. **85**, 5452 (2000).
12. L. M. K. Vandersypen, M. Steffen, G. Breyta et al., Nature **414**, 883 (2001).
13. В. Н. Сачков, *Введение в комбинаторные методы дискретной математики*, М.: Наука, 1982.
14. В. Е. Зобов, А. С. Ермилов, Письма в ЖЭТФ **83**, 539 (2006).
15. А. С. Ермилов, В. Е. Зобов, Оптика и спектроскопия **103**, 994 (2007).
16. G. K. Brennen, D. P. O'Leary, and S. S. Bullock, Phys. Rev. A **71**, 052318 (2005).
17. Ч. Сликтер, *Основы теории магнитного резонанса*, М.: Мир, 1981.
18. A. K. Khitrin and B. M. Fung, Phys. Rev. A **64**, 032306 (2001).
19. J.-S. Lee and A. K. Khitrin, J. Chem. Phys. **4**, 041101 (2005).
20. L. M. K. Vandersypen and I. L. Chuang, Rev. Mod. Phys. **76**, 1037 (2004).
21. E. V. Moreva, G. A. Maslennikov, S. S. Straup, and S. P. Kulik, Phys. Rev. Lett. **97**, 023602 (2006).
22. C.-Y. Lu, D. E. Browne, T. Yang, and J.-W. Pan, Phys. Rev. Lett. **99**, 250504 (2007).
23. B. P. Lanyon, T. J. Weinhold, N. K. Langford et al., Phys. Rev. Lett. **99**, 250505 (2007).